



Оптимальная коммутируемая мощность
 Низкие динамические потери
 Малый заряд обратного восстановления
 Высокая стойкость к
 электротермоциклированию

Штыревой Быстровосста- навливающийся Диод Тип ДЧ271-500-14

Средний прямой ток	I_{FAV}		500 А		
Повторяющееся импульсное обратное напряжение	U_{RRM}		1000...1400 В		
Время обратного восстановления	t_{rr}		4.0, 5.0, 6.3, 8.0 мкс		
U_{RRM} , В	1000	1100	1200	1300	1400
Класс по напряжению	10	11	12	13	14
T_j , °C	-60...+150				

ПРЕДЕЛЬНО ДОПУСТИМЫЕ ЗНАЧЕНИЯ ПАРАМЕТРОВ

Обозначение и наименование параметра		Ед. изм.	Значение	Условия измерения	
Параметры в проводящем состоянии					
I_{FAV}	Максимально допустимый средний прямой ток	А	500 590	$T_c=75$ °C; $T_c=55$ °C; 180 эл. град. синус; 50 Гц	
I_{FRMS}	Действующий прямой ток	А	785	$T_c=75$ °C; 180 эл. град. синус; 50 Гц	
I_{FSM}	Ударный ток	кА	12.0 14.0	$T_j=T_{j\max}$ $T_j=25$ °C	180 эл. град. синус; $t_p=10$ мс; единичный импульс; $U_R=0$ В;
			13.0 15.0	$T_j=T_{j\max}$ $T_j=25$ °C	180 эл. град. синус; $t_p=8.3$ мс; единичный импульс; $U_R=0$ В;
I^2t	Защитный показатель	$A^2s \cdot 10^3$	720 980	$T_j=T_{j\max}$ $T_j=25$ °C	180 эл. град. синус; $t_p=10$ мс; единичный импульс; $U_R=0$ В;
			700 930	$T_j=T_{j\max}$ $T_j=25$ °C	180 эл. град. синус; $t_p=8.3$ мс; единичный импульс; $U_R=0$ В;
Блокирующие параметры					
U_{RRM}	Повторяющееся импульсное обратное напряжение	В	1000...1400	$T_{j\min} < T_j < T_{j\max}$; 180 эл. град. синус; 50 Гц	
U_{RSM}	Неповторяющееся импульсное обратное напряжение	В	1100...1500	$T_{j\min} < T_j < T_{j\max}$; 180 эл. град. синус; единичный импульс	
U_R	Постоянное обратное напряжение	В	$0.6 \cdot U_{RRM}$	$T_j = T_{j\max}$;	
Тепловые параметры					
T_{stg}	Температура хранения	°C	-60...+50		
T_j	Температура р-п перехода	°C	-60...+150		
Механические параметры					
M	Крутящий момент затяжки	Нм	25...35		
a	Ускорение	м/с ²	100		

ХАРАКТЕРИСТИКИ

Обозначение и наименование характеристики		Ед. изм.	Значение	Условия измерения
Характеристики в проводящем состоянии				
U_{FM}	Импульсное прямое напряжение, макс	В	1.85	$T_j=25\text{ }^\circ\text{C}; I_{FM}=1570\text{ A}$
$U_{F(TO)}$	Пороговое напряжение, макс	В	1.040	$T_j=T_{j\text{ max}};$ $0.5 \pi I_{FAV} < I_T < 1.5 \pi I_{FAV}$
r_T	Динамическое сопротивление, макс	МОм	0.591	
Блокирующие характеристики				
I_{RRM}	Повторяющийся импульсный обратный ток, макс	мА	40	$T_j=T_{j\text{ max}};$ $U_R=U_{RRM}$
Динамические характеристики				
Q_r	Заряд восстановления, макс	мкКл	500	$T_j=T_{j\text{ max}}; I_{FM}=I_{FAV};$ $di_R/dt=-100\text{ A/мкс};$ $U_R=100\text{ В};$
t_{rr}	Время обратного восстановления, макс	мкс	4.0, 5.0, 6.3, 8.0	
I_{rr}	Обратный ток восстановления, макс	А	250	
Тепловые характеристики				
R_{thjc}	Тепловое сопротивление р-п переход-корпус, макс	$^\circ\text{C/Вт}$	0.0850	Постоянный ток
Механические характеристики				
m	Масса, макс	г	440	
D_s	Длина пути тока утечки по поверхности	мм (дюйм)	12.4 (4.882)	
D_a	Длина пути тока утечки по воздуху	мм (дюйм)	12.4 (4.882)	

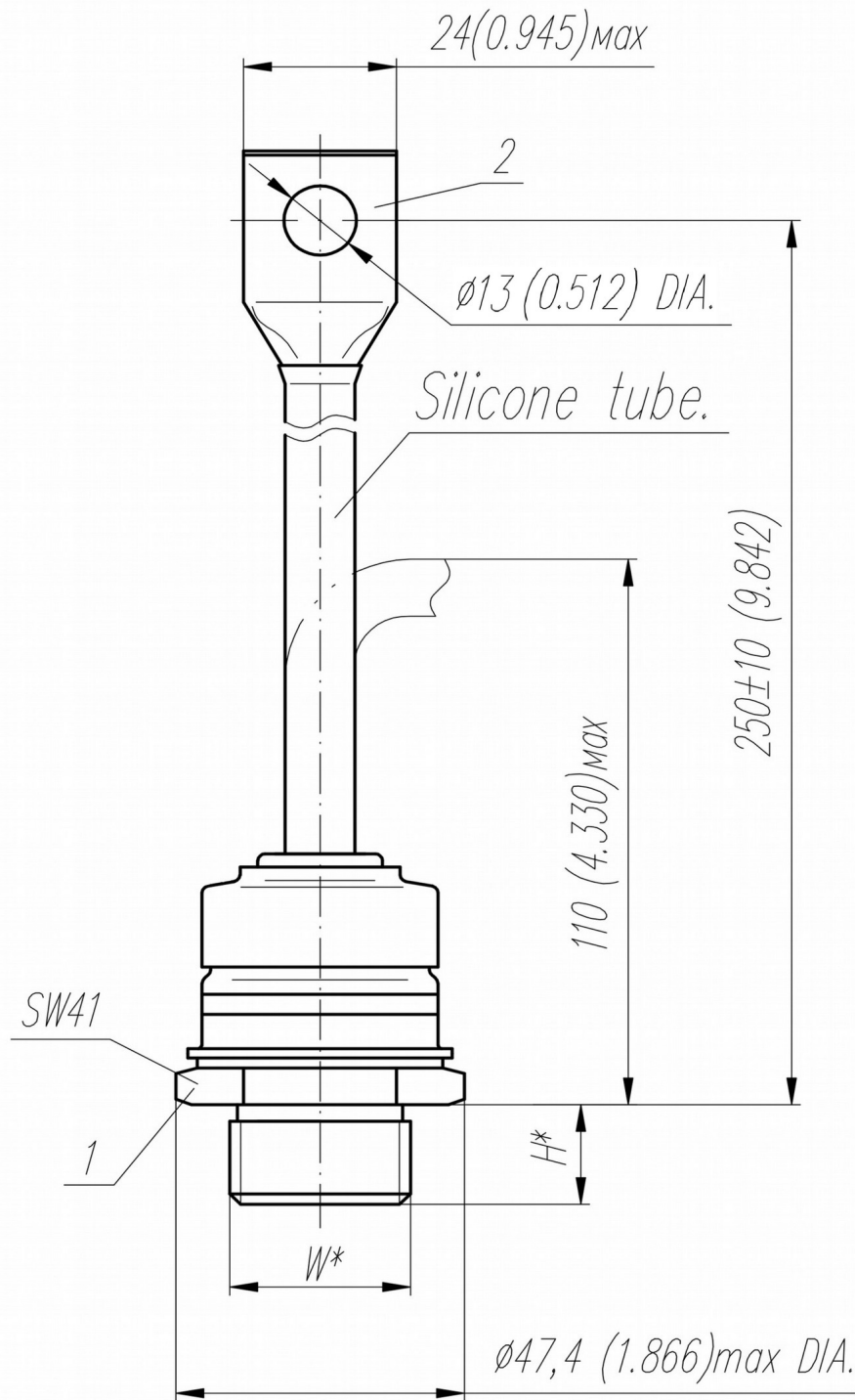
МАРКИРОВКА

ДЧ	271	500		14	Н4	УХЛ2
1	2	3	4	5	6	7

1. ДЧ — Быстровосстанавливающийся диод
2. Конструктивное исполнение
3. Средний прямой ток, А
4. Полярность: X – обратная; прямая - не указывается
5. Класс по напряжению
6. Группа по времени обратного восстановления
7. Климатическое исполнение по ГОСТ 15150: УХЛ2, Т2

ГРУППА ПО ВРЕМЕНИ ОБРАТНОГО ВОССТАНОВЛЕНИЯ

Обозначение группы	Н4	Е4	С4	В4
t_{rr} , мкс	4.0	5.0	6.3	8.0



Тип Резьбы	W	H
Метрическая Резьба Тип С	M24x1,5 – 8g	19
Метрическая Резьба Тип В(по требованию)	M20x1,5 – 8g	15

Полярность	Пример маркировки	Условное обозначение	Цвета	
			Анод	Катод
Анод на основании	ДЧ271-500-14	∇	-	Красная трубка

Все размеры в миллиметрах (дюймах)

Содержащаяся здесь информация является конфиденциальной и находится под защитой авторских прав. В интересах улучшения качества продукции, АО «Протон-Электротекс» оставляет за собой право изменять информационные листы без уведомления.

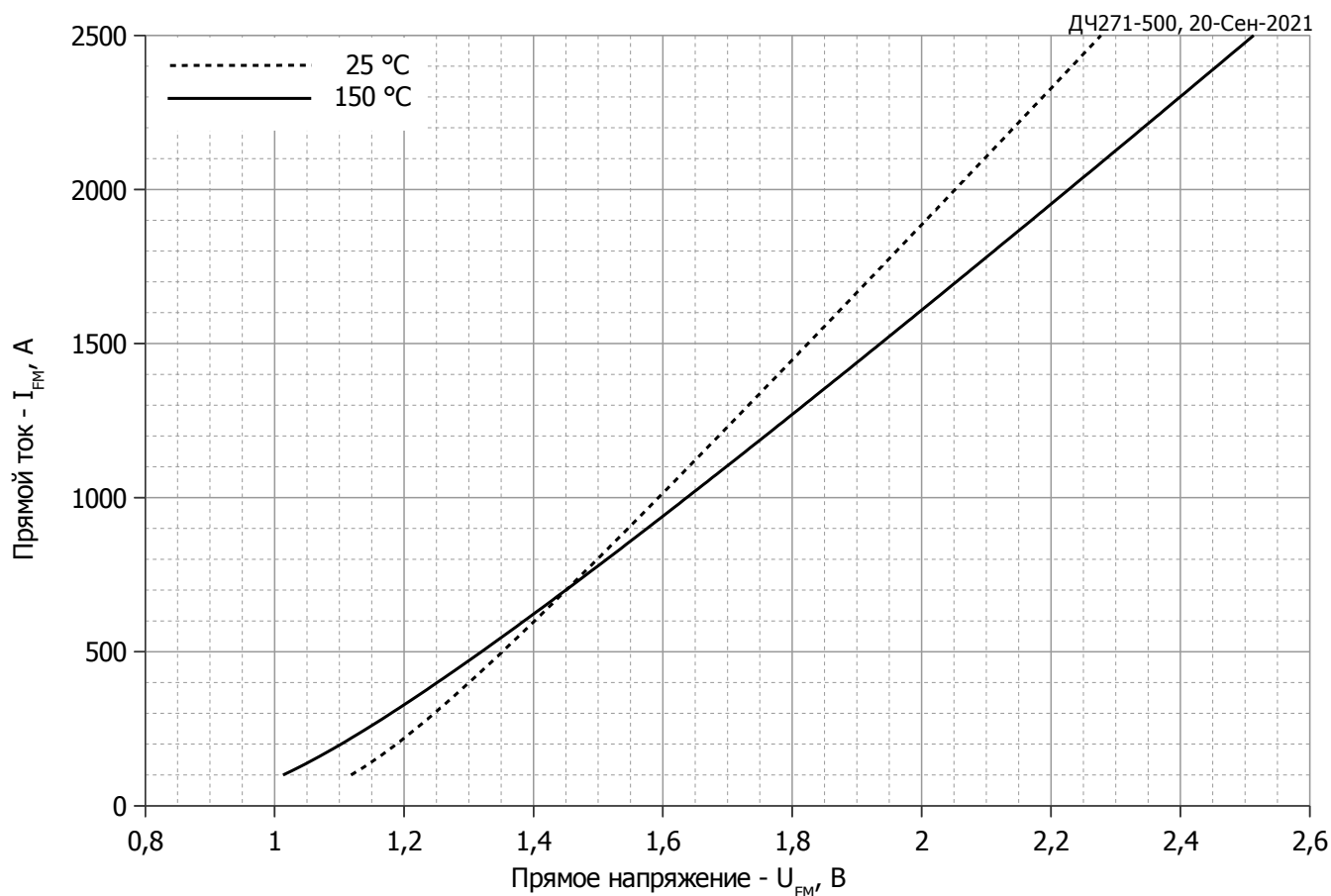


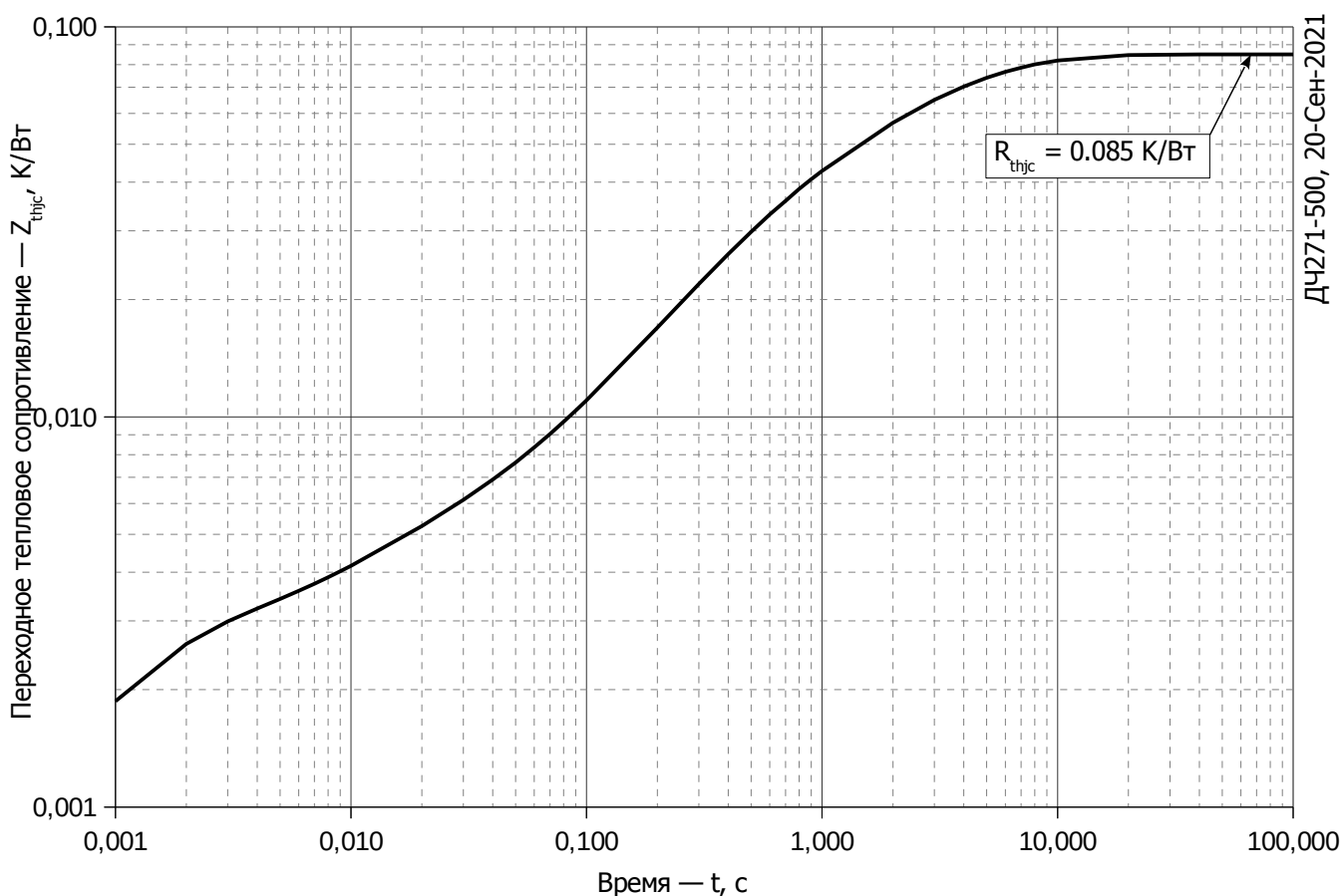
Рис. 1 – Предельная вольт–амперная характеристика

Аналитическая функция предельной вольт — амперной характеристики:

$$U_F = A + B \cdot i_F + C \cdot \ln(i_F + 1) + D \cdot \sqrt{i_F}$$

	Коэффициенты для графика	
	$T_j = 25^\circ\text{C}$	$T_j = T_{j \max}$
A	0.87594401	0.78400558
B	0.00044589	0.00051083
C	0.04590157	0.02864949
D	-0.00144850	0.00456096

Модель предельной вольт – амперной характеристики (см. Рис. 1).



ДЧ271-500, 20-Сен-2021

Рис. 2 – Зависимость переходного теплового сопротивления Z_{thjc} от времени t

Аналитическая зависимость переходного теплового сопротивления переход — корпус:

$$Z_{thjc} = \sum_{i=1}^n R_i \left(1 - e^{-\frac{t}{\tau_i}} \right)$$

Где $i = 1$ до n , n – число суммирующихся элементов.

t = продолжительность импульсного нагрева в секундах.

Z_{thjc} = Тепловое сопротивление за время t .

R_i, τ_i = расчетные коэффициенты, приведенные в таблице.

Постоянный ток

i	1	2	3	4	5	6
$R_i, \text{K/W}$	0.023357	0.02733	0.01495	0.001445	0.002488	0.01543
τ_i, c	4.627	2.249	0.3406	0.01043	0.0009112	0.9081

Модель переходного теплового сопротивления переход - корпус (см. Рис. 2)

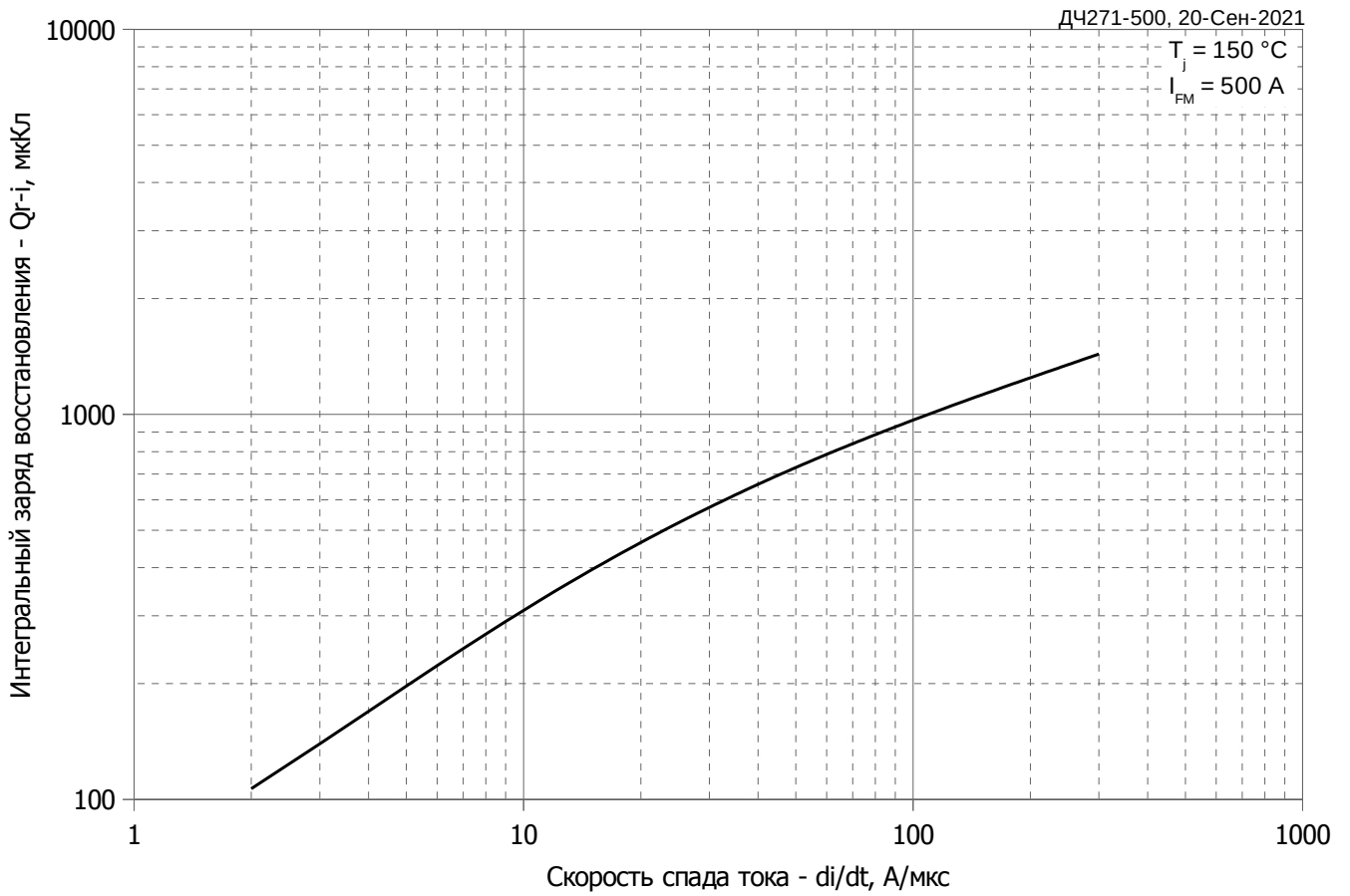


Рис. 3 – Зависимость максимального интегрального заряда восстановления Q_{r-i} от скорости спада прямого тока di_R/dt

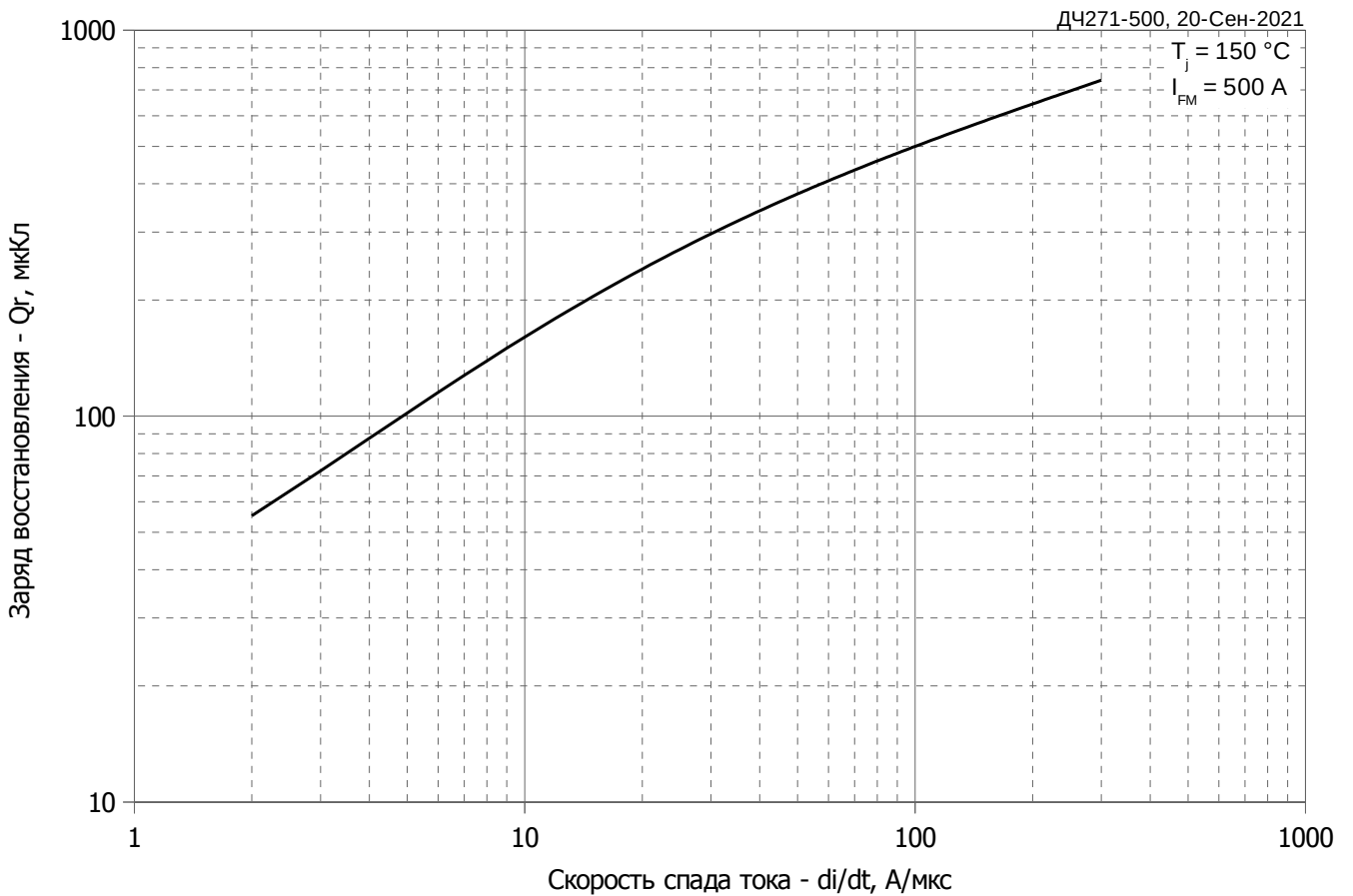


Рис. 4 – Зависимость максимального заряда восстановления Q_r от скорости спада прямого тока di_R/dt (по ГОСТ 24461, хорда 25%)

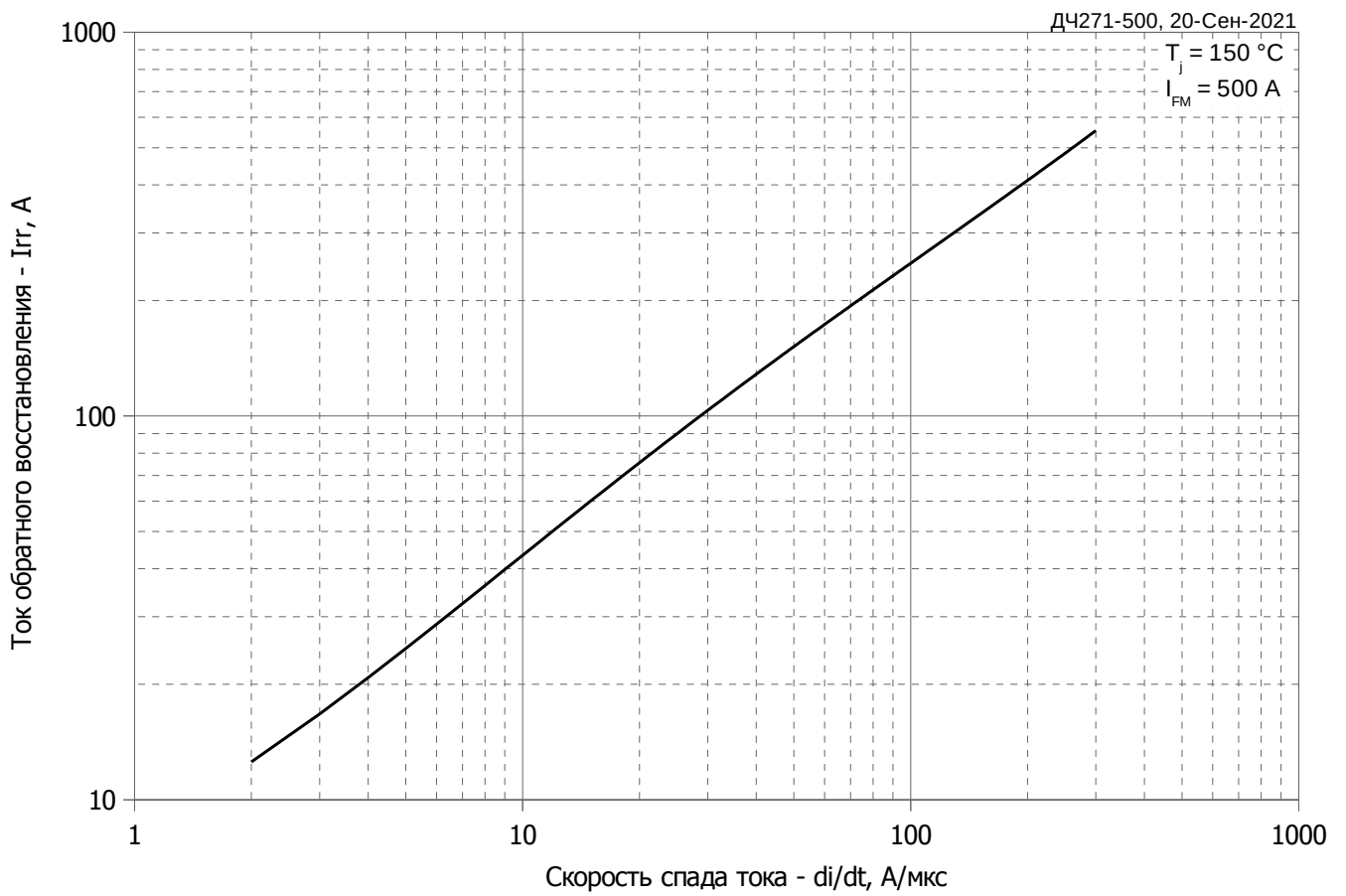


Рис. 5 – Зависимость максимального тока обратного восстановления I_{rr} от скорости спада прямого тока di_R/dt

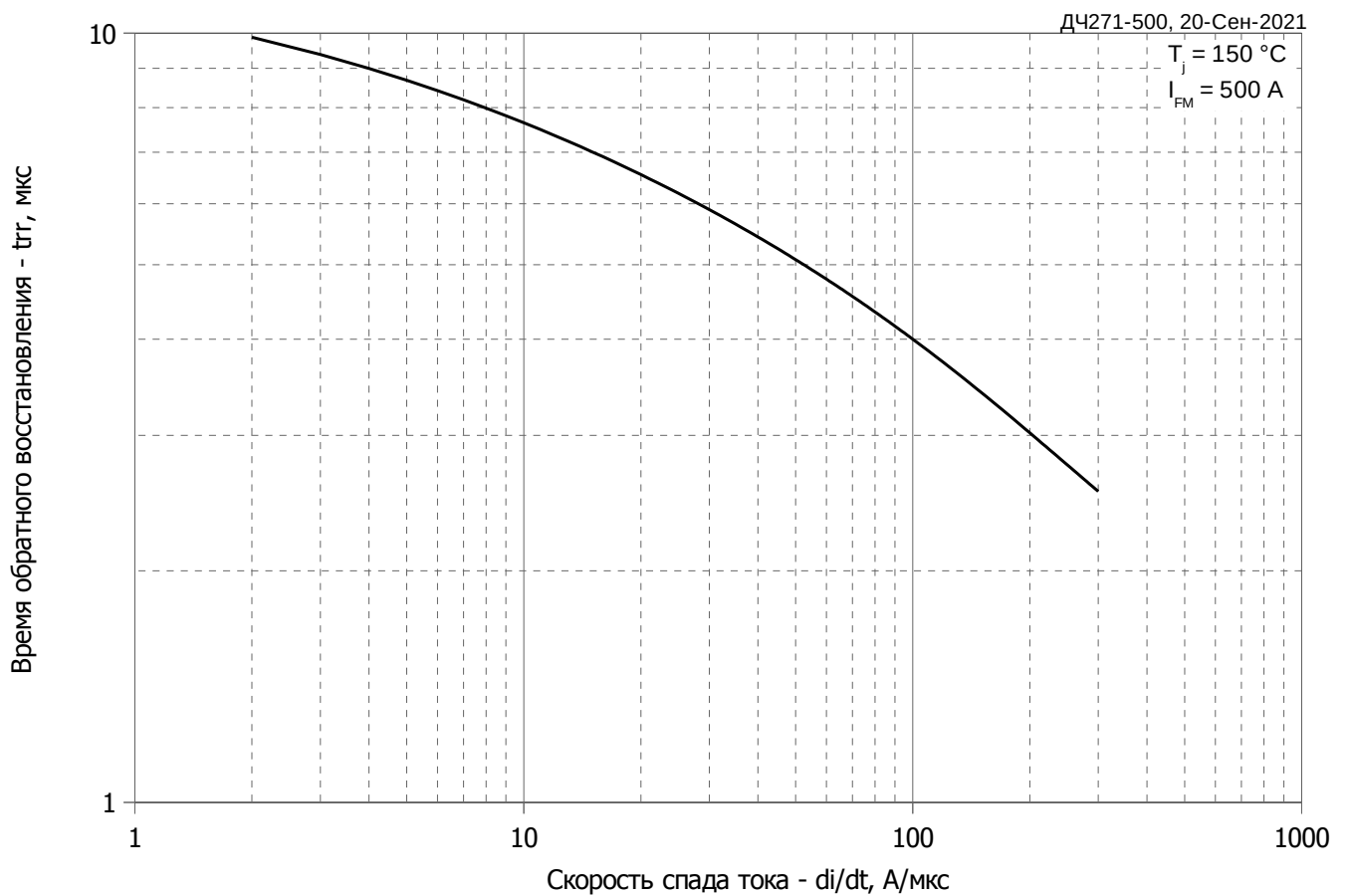


Рис. 6 - Зависимость максимального времени обратного восстановления t_{rr} от скорости спада прямого тока di_R/dt (по ГОСТ 24461, хорда 25%)

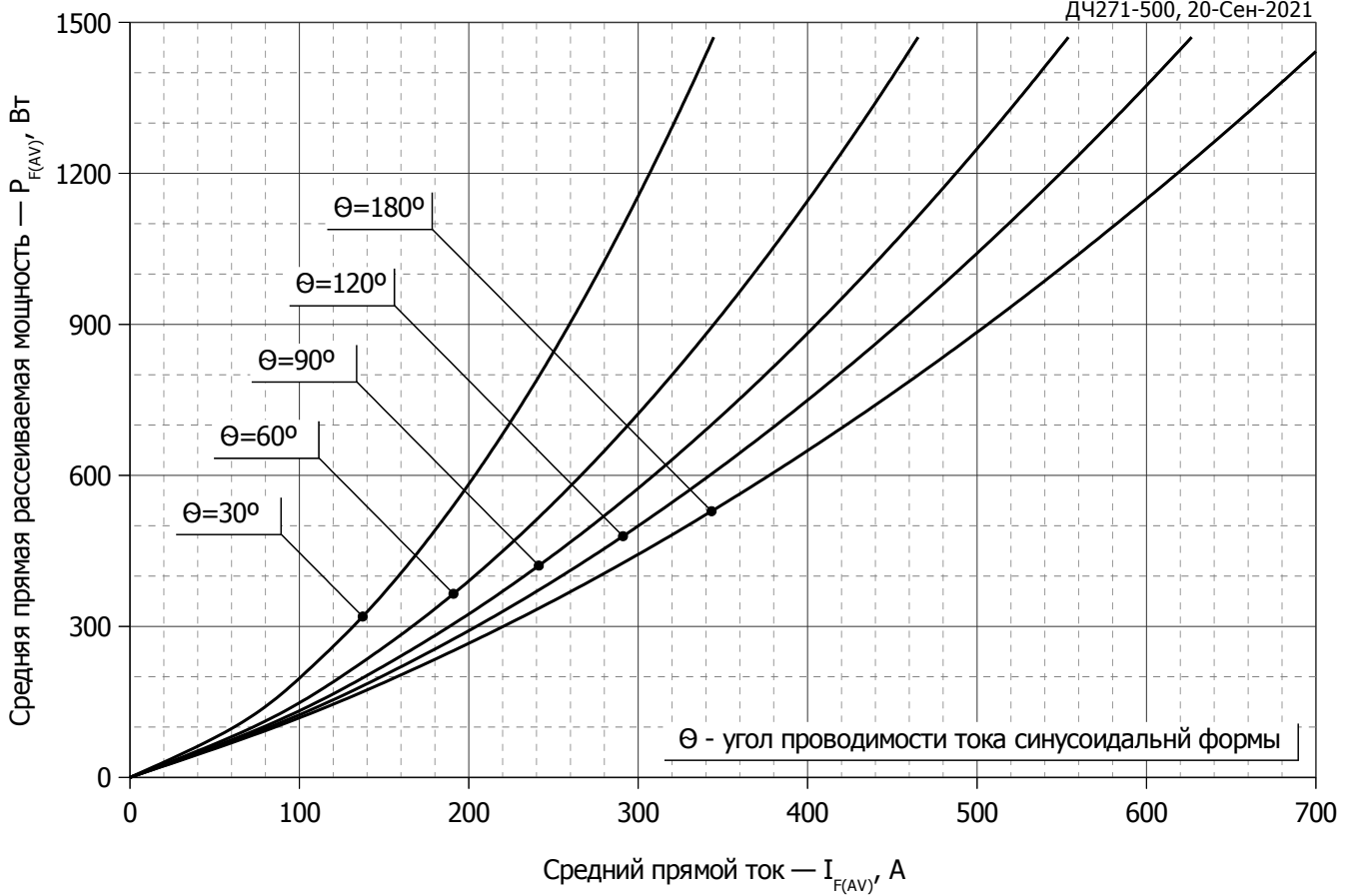


Рис. 7 - Зависимость потерь мощности P_{FAV} от среднего прямого тока I_{FAV} синусоидальной формы при различных углах проводимости ($f=50$ Гц)

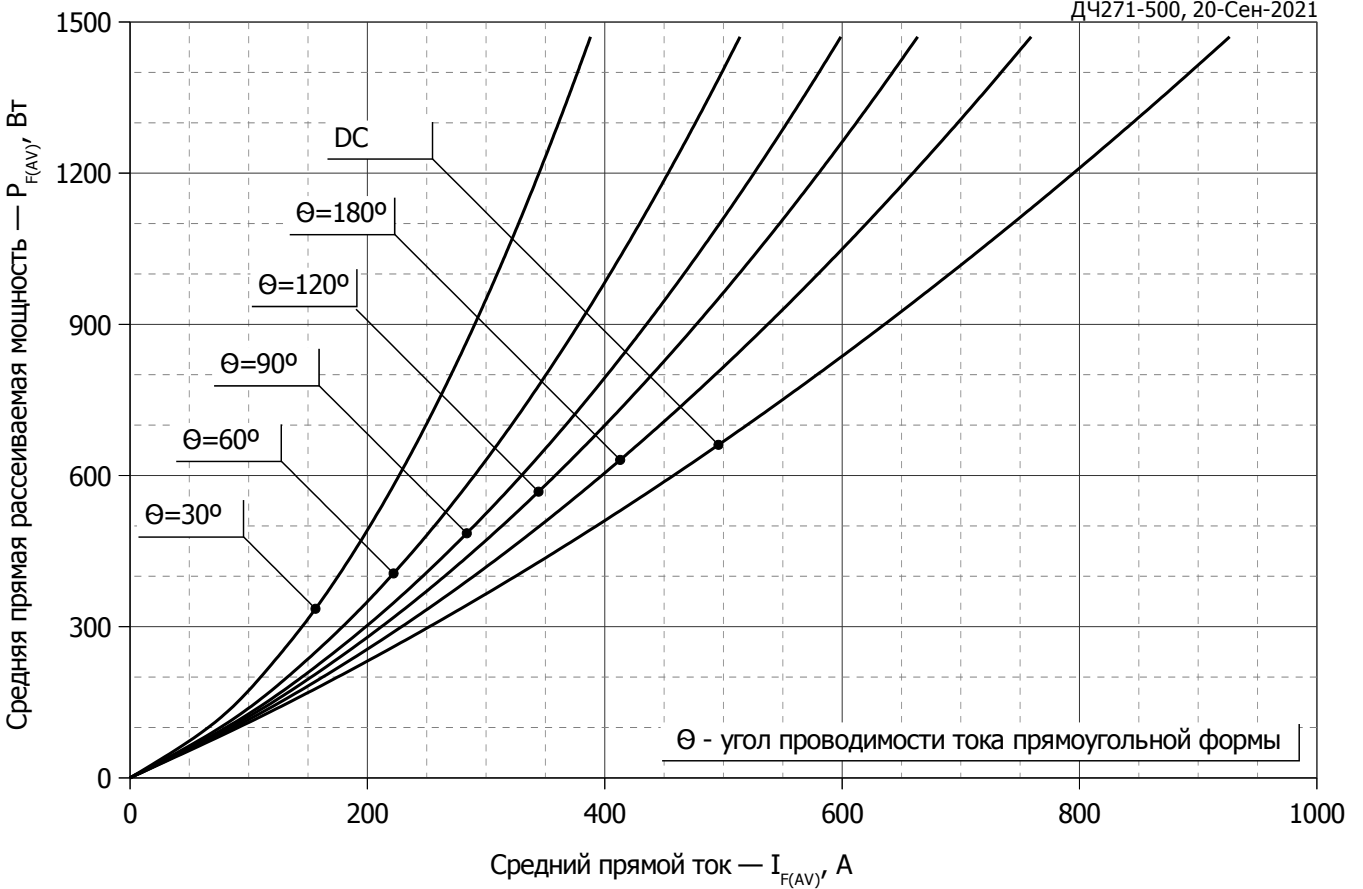


Рис. 8 – Зависимость потерь мощности P_{FAV} от среднего прямого тока I_{FAV} прямоугольной формы при различных углах проводимости ($f=50$ Гц)

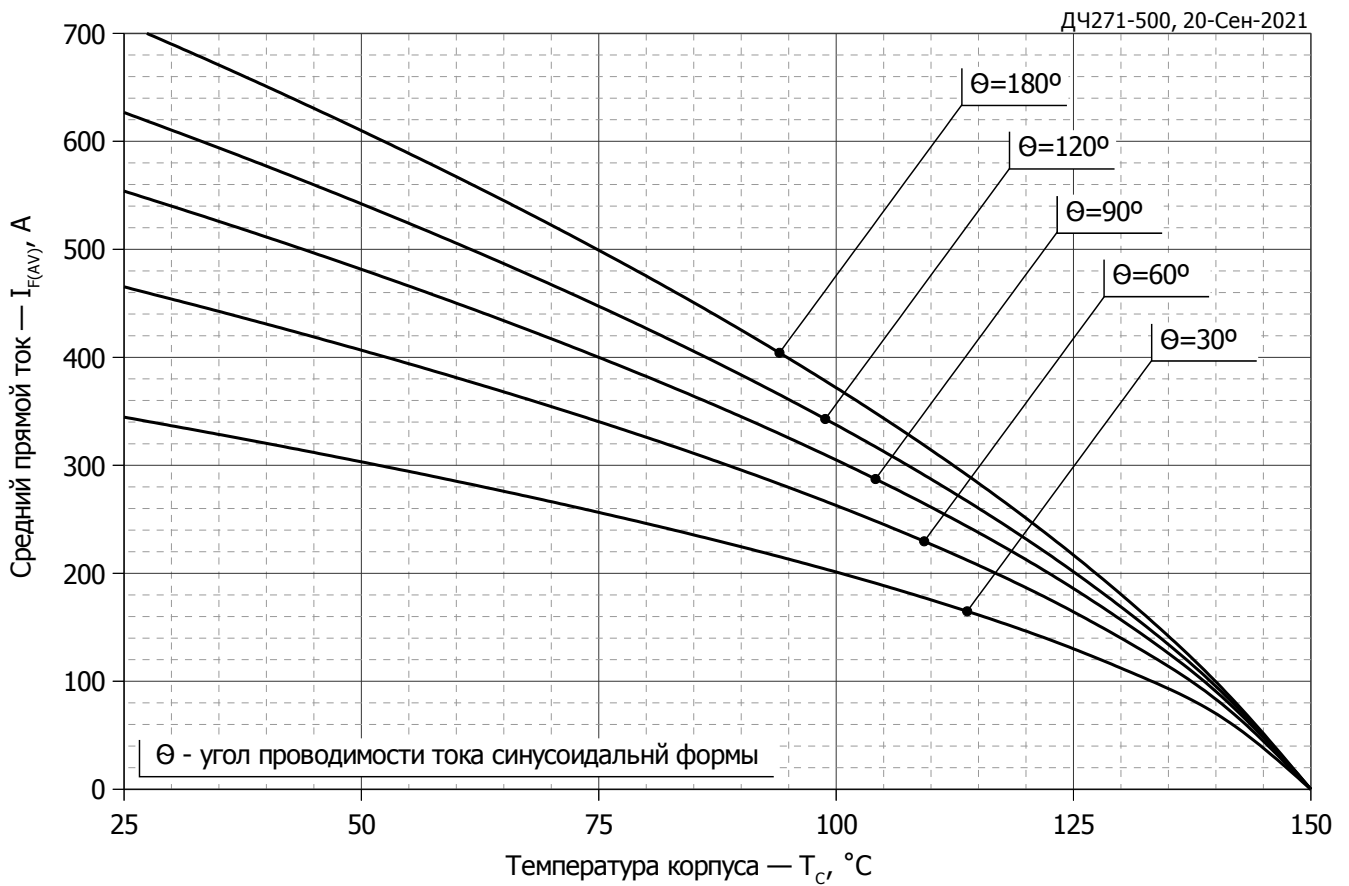


Рис. 9 – Зависимость среднего прямого тока I_{FAV} от температуры корпуса T_c для синусоидальной формы тока при различных углах проводимости ($f=50$ Гц)

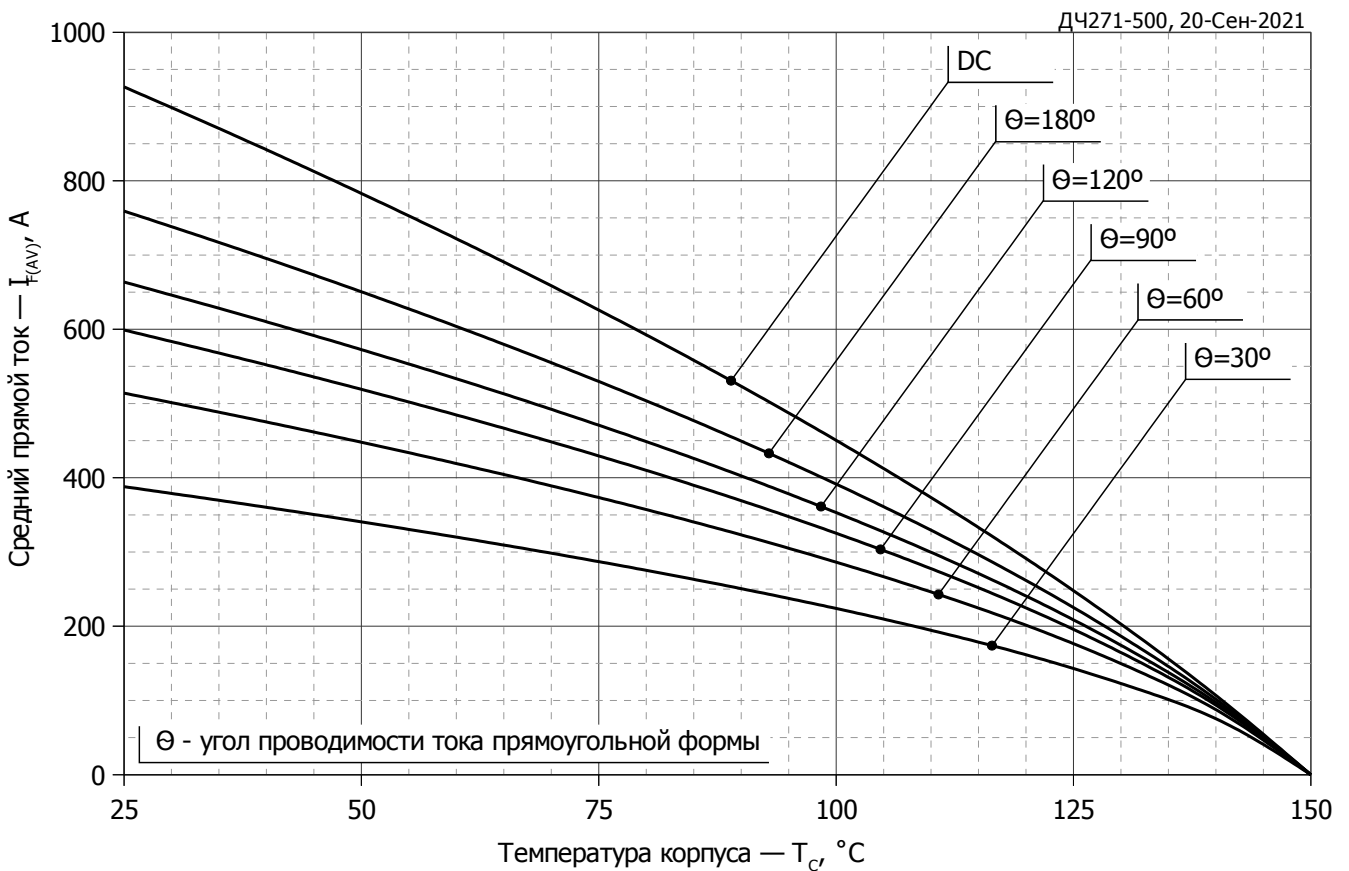


Рис. 10 - Зависимость среднего прямого тока I_{FAV} от температуры корпуса T_c для прямоугольной формы тока при различных углах проводимости ($f=50$ Гц)

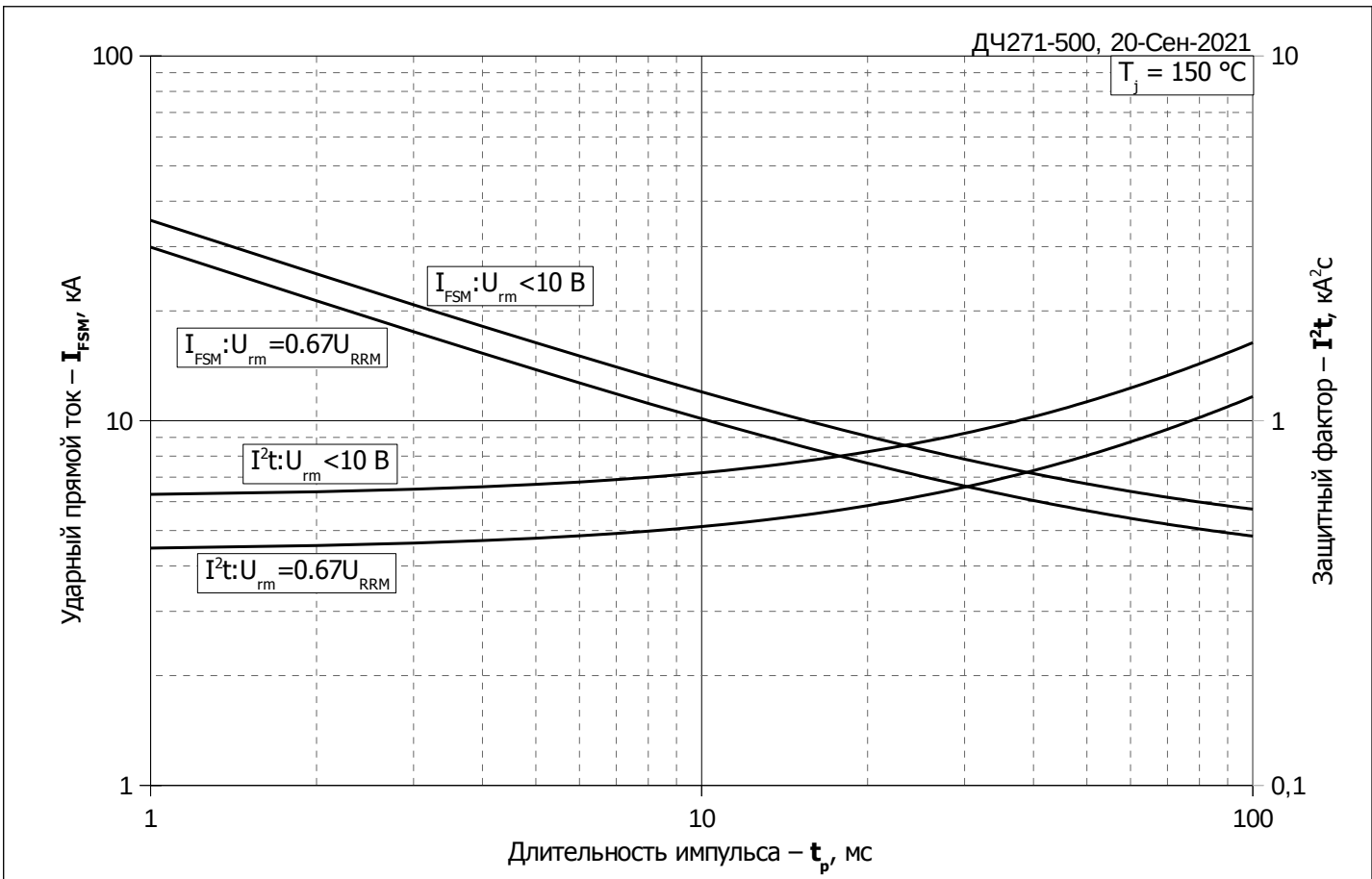


Рис. 11 – Зависимость максимальной амплитуды ударного прямого тока I_{FSM} и защитного фактора I^2t от длительности импульса t_p

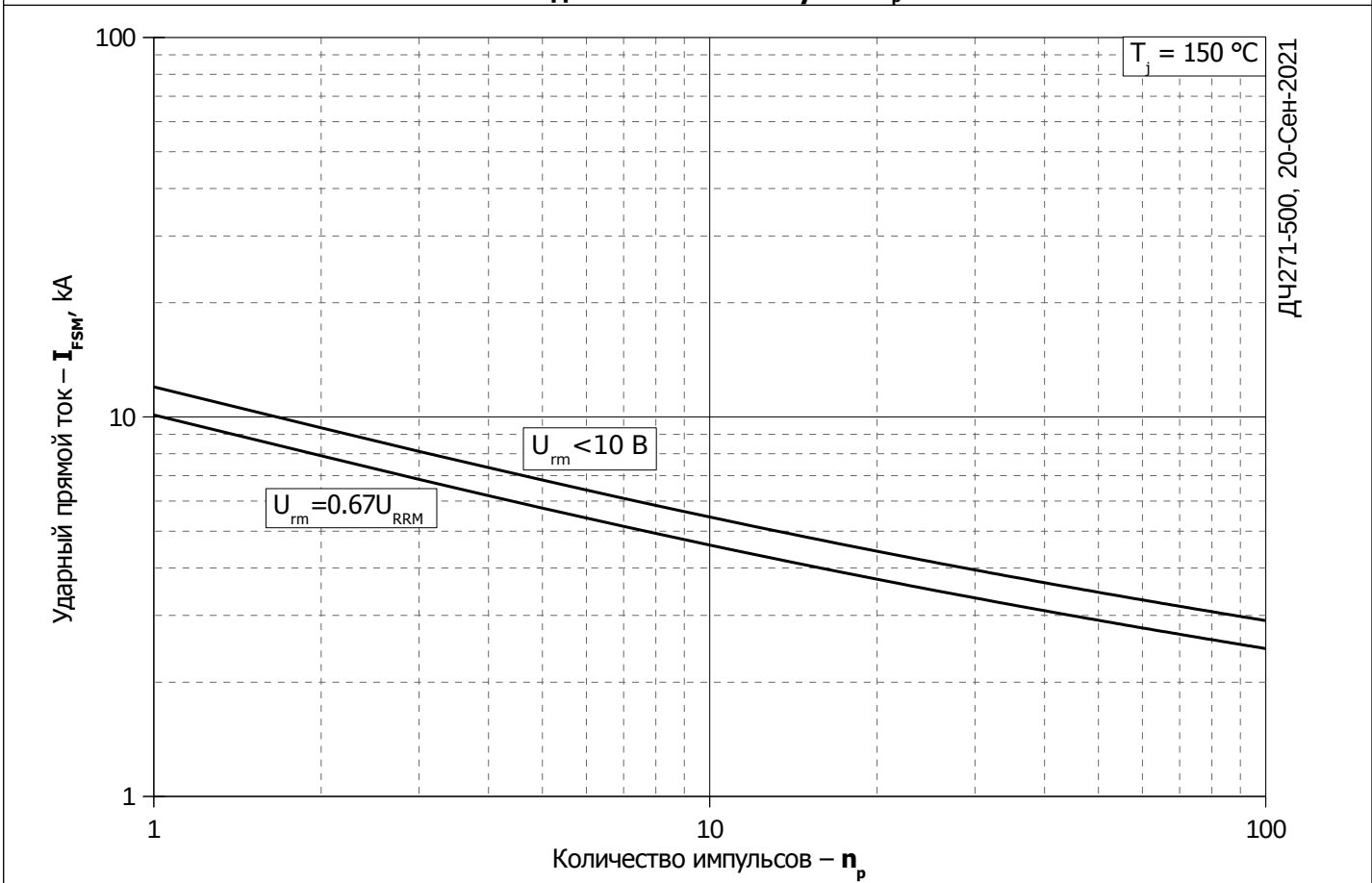


Рис. 12 – Зависимость максимальной амплитуды ударного прямого тока I_{FSM} от количества импульсов n_p